

课题组组会-练习 9

王程

2023 年 12 月 11 日

一 练习及结果

1. 对于 $\varphi = \varphi(x, t)$ 考虑以下一维对流-扩散方程

$$\begin{cases} \varphi_t + a\varphi_x = \nu\varphi_{xx} + f(x), x \in [0, 1], t \geq 0. \\ \varphi(x, 0) = x^2 - x \\ \varphi(0, t) = \varphi(1, t) = 0 \end{cases}$$

其中, $a = 1, \nu = 1, f(x) = \nu\pi^2 \sin(\pi x) + a\pi \cos(\pi x)$ 。

在均匀网格下, 尝试在显式/隐式格式下使用 Hyperbolic DG/rDG 的方法求上述方程的稳态解, 并与解析解进行比较, 空间离散方式可选用 DG(P0P1)+DG(P0), DG(P0P2)+rDG(P0P1), DG(P0P2)+DG(P1)。
调整系数 a, ν , 在不同的雷诺数下进行比较数值解和解析解。

2. 考虑非稳态的一维对流-扩散方程, 其中精确解为

$$\varphi(x, t) = \frac{1}{\sqrt{4t+1}} \exp\left(-\frac{(x-at-x_0)^2}{\nu(4t+1)}\right), 0 \leq x \leq 2.$$

其中, $a = 10^4, \nu = 0.01, x_0 = 0.5$ 。

物理时间步长设置为 10^{-9} , 在均匀网格 ($N_{elem} = 32, 64, 128, 256$) 下, 尝试在双时间步法下使用 Hyperbolic DG/rDG 的方法求上述方程在 $t=10^{-6}$ 时刻的数值解, 并与解析解进行比较。

解: 1.

a). 为对比 Explicit 与 Implicit 方法的不同, 考虑在不同空间离散格式下固定雷诺数为 1: $a = 1, \nu = 1$, 对比 Explicit 与 Implicit 方法的数值解:

表 1: DG(P0P1)+DG(P0) Explicit 与 Implicit 数值解对比

$Re = \frac{ a }{\nu} = 1 : a = 1, \nu = 1$				
Nelement	8	16	32	64
Explicit $CFL_\tau = 0.01, tol = 10^{-8}$				
$L_2errors - U$	0.0629	0.0327	0.0167	0.0084
$L_2errors - U_x$	0.2563	0.1272	0.0634	0.0317
Matlab 运行时间 (s)	1.2203	1.774	4.404	12.701
Implicit $CFL_\tau = 100, tol = 10^{-8}$				
$L_2errors - U$	0.0540	0.0321	0.0167	0.0084
$L_2errors - U_x$	0.2625	0.1274	0.0634	0.0317
Matlab 运行时间 (s)	0.762	0.909	0.812	0.890

表 2: DG(P0P2)+DG(P1) Explicit 与 Implicit 数值解对比

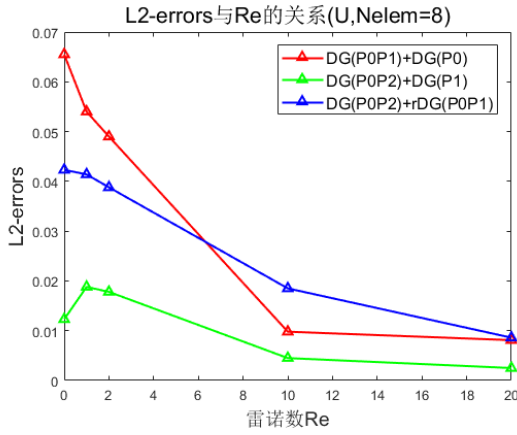
$Re = \frac{ a }{\nu} = 1 : a = 1, \nu = 1$				
Nelement	8	16	32	64
Explicit $CFL_\tau = 0.01, tol = 10^{-8}$				
$L_2errors - U$	0.0092	0.0023	5.83×10^{-4}	1.60×10^{-4}
$L_2errors - U_x$	0.0311	0.0078	0.0020	5.86×10^{-4}
Matlab 运行时间 (s)	1.116	1.388	2.959	8.147
Implicit $CFL_\tau = 100, tol = 10^{-8}$				
$L_2errors - U$	0.0188	0.0031	5.92×10^{-4}	1.43×10^{-4}
$L_2errors - U_x$	0.0602	0.0101	0.002	4.85×10^{-4}
Matlab 运行时间 (s)	0.774	0.918	0.970	1.086

表 3: DG(P0P2)+rDG(P0P1) Explicit 与 Implicit 数值解对比

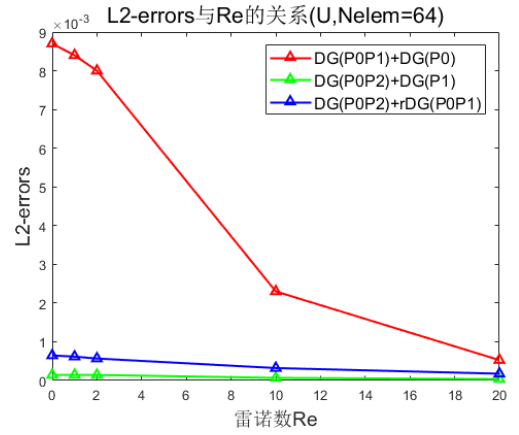
$Re = \frac{ a }{\nu} = 1 : a = 1, \nu = 1$		$\omega_0 = 1, \omega_1 = 1, \omega_2 = 1, \omega_b = 0$			
Nelement	8	16	32	64	
Explicit $CFL_\tau = 0.01, tol = 10^{-8}$					
$L_2errors - U$	0.0315	0.0106	0.0026	6.32×10^{-4}	
$L_2errors - U_x$	0.0694	0.0148	0.003	6.95×10^{-4}	
Matlab 运行时间 (s)	0.978	1.635	3.209	9.406	
Implicit $CFL_\tau = 100, tol = 10^{-8}$					
$L_2errors - U$	0.0414	0.0111	0.0026	6.16×10^{-4}	
$L_2errors - U_x$	0.0747	0.0157	0.003	6.10×10^{-4}	
Matlab 运行时间 (s)	0.748	0.771	0.806	0.95	

观察表 1, 表 2 和表 3, 可以发现 Explicit 与 Implicit 最主要的区别是运行时间, 两者的 $L_2errors$ 差别不大。

b). 调整系数 a, ν , 考虑雷诺数为 0,1,2,10,20 时数值解与解析解的 L_2 误差, 绘制成下图 (仅展示 Implicit, Nelem=8,64 的情况):

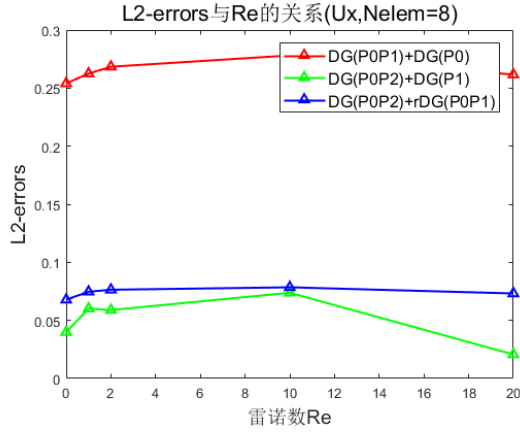


(a) U (Nelem=8)

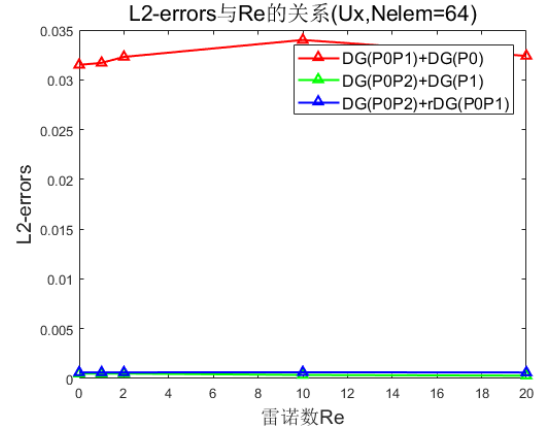


(b) U (Nelem=64)

图 1: $L_2errors - U$ 和 Re 的关系



(a) $U_x(\text{Nelem}=8)$



(b) $U_x(\text{Nelem}=64)$

图 2: $L_2\text{errors} - U_x$ 和 Re 的关系

观察图 1 和图 2, 可以很明显的发现 $L_2\text{errors} - U$ 会随着雷诺数 Re 的增大而减小, 而 $L_2\text{errors} - U_x$ 对雷诺数的变化并不敏感。

解: 2.

对于非稳态的一维对流-扩散方程, 由于其精确解为:

$$\varphi(x, t) = \frac{1}{\sqrt{4t+1}} \exp\left(-\frac{(x-at-x_0)^2}{\nu(4t+1)}\right), 0 \leq x \leq 2.$$

当 $t \rightarrow \infty$ 时, $\varphi \rightarrow 0$. 因此, 实际考虑的方程为

$$\begin{cases} \varphi_t + a\varphi_x = \nu\varphi_{xx}, x \in [0, 2], t \geq 0. \\ \varphi(x, 0) = \exp\left(-\frac{(x-x_0)^2}{\nu}\right) \\ \varphi(0, t) = \varphi(1, t) = 0 \end{cases}$$

仅考虑 Implicit, 对方程进行求解, 得到如下表格:

表 4: Implicit 数值解与解析解对比

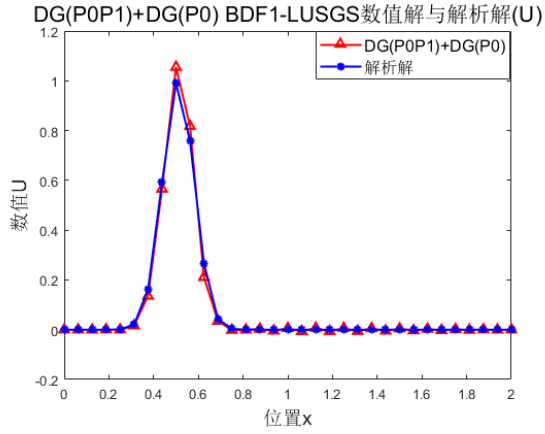
$Re = \frac{ a }{\nu} = 10^6 : a = 10^4, \nu = 0.01, x_0 = 0.5$		$CFL_\tau = 10^6, tol = 10^{-5}$			
Nelement(Implicit)		32	64	128	256
DG(P0P1)+DG(P0)					
$L_2errors - U$		0.8834	0.8830	0.8830	0.8830
$L_2errors - U_x$		4.5617	4.3956	4.3668	4.3601
Matlab 运行时间 (s)		5.942	10.444	20.205	46.048
DG(P0P2)+DG(P1)					
$L_2errors - U$		0.8833	0.8832	0.8830	0.8830
$L_2errors - U_x$		4.4851	4.4337	4.3795	4.3629
Matlab 运行时间 (s)		6.287	20.087	84.785	429.929
DG(P0P2)+rDG(P0P1)		$\omega_0 = 1, \omega_1 = 1, \omega_2 = 1, \omega_b = 0$			
$L_2errors - U$		0.8832	0.8830	0.8830	0.8830
$L_2errors - U_x$		4.4539	4.3620	4.3578	4.3578
Matlab 运行时间 (s)		5.896	13.474	21.430	35.701

观察表 4, 可以发现:

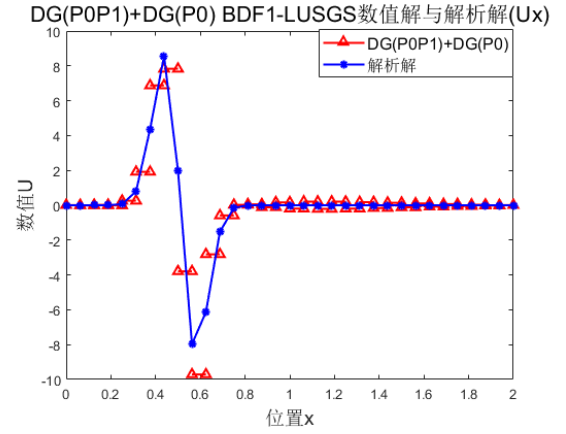
- 1). 在非稳态问题中, CFL 足够大时, 隐式格式所需要的时间也不短 (部分原因是 Matlab 处理循环较慢), 这也侧面凸显出相较于显示格式, 隐式格式在缩短运行时间方面有着巨大优势。
- 2). rDG 的优点。
- 3). 上述三种空间离散格式, 当 Nelem 达到 32 即以上, $L_2errors - U$ 和 $L_2errors - U_x$ 不随网格的加密而减小。

下面展示上述三种空间离散格式下的数值解与解析解比较图 (Nelem=32):

DG(P0P1)+DG(P0)



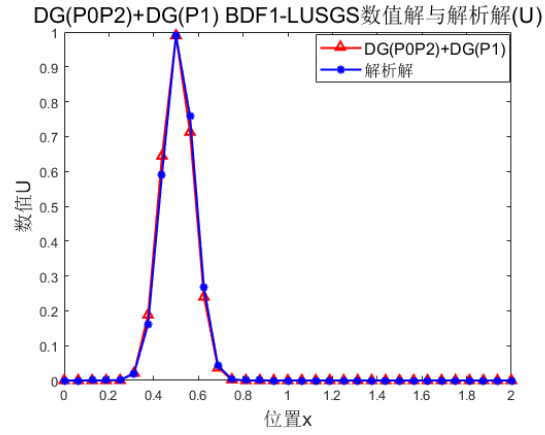
(a) U(Nelem=32)



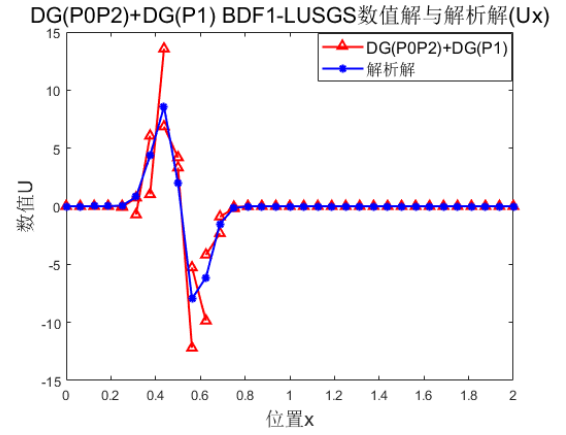
(b) Ux(Nelem=32)

图 3: DG(P0P1)+DG(P0) 数值解与解析解比较图

DG(P0P2)+DG(P1)



(a) U(Nelem=32)

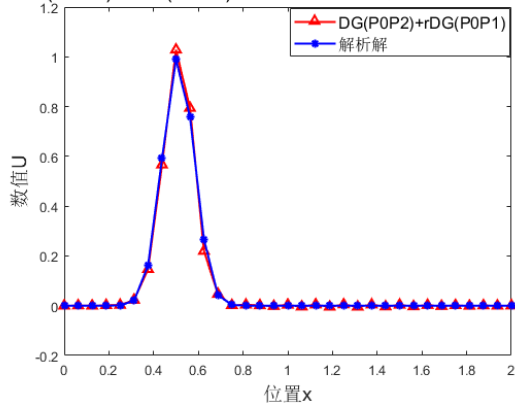


(b) Ux(Nelem=32)

图 4: DG(P0P2)+DG(P1) 数值解与解析解比较图

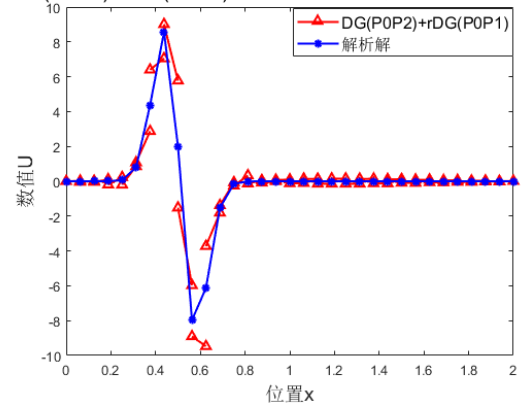
DG(P0P2)+rDG(P0P1)

DG(P0P2)+rDG(P0P1) BDF1-LUSGS 数值解与解析解(U)



(a) U (Nelem=32)

DG(P0P2)+rDG(P0P1) BDF1-LUSGS 数值解与解析解(U_x)



(b) U_x (Nelem=32)

图 5: DG(P0P2)+rDG(P0P1) 数值解与解析解比较图

二 附录

2.1 代码 (仅展示部分, 详细见 Github)

Nonstable-problem-Advection-Diffusion-Eq-Implicit-DGP0P1plusDGP0

```
1  clc
2  clear all
3  close all
4  %Preproceeding
5  %Some basic paramater
6  Unit=32;%单元个数
7  nu=0.01;a=10^4;x0=0.5;
8  Lr=1/max(2*pi,abs(a)/nu);Tr=Lr^2/nu;abslambd=sqrt(nu/Tr);A1=[abslambd+
    abs(a),0;0,abslambd];A=[a,-nu;-1/Tr,0];B1=1;
9  deltata=10^(-9);
10 CFLtau=10^6;
11 endtau=10;%伪时间阈值
12 endt=10^(-6);
13 tol=10^(-5);%跳出循环条件
14 belta=0;%网格扰动系数
15 endx=2;deltax=endx/Unit;numberx=endx/deltax+1;
16 Vcurrent=zeros(2,numberx-1);
17 Vn=zeros(2,numberx-1);
18 Vm=zeros(2,numberx-1);
19 Vml=zeros(2,numberx-1);
20 dimation=2;
21 %LHS
22 LHS1=zeros(dimation*Unit,dimation*Unit);
23 LHS2=zeros(dimation*Unit,dimation*Unit);
24 LHS3=zeros(dimation*Unit,dimation*Unit);
25 %RHS
26 R=zeros(dimation*Unit,1);
27 Rd=zeros(dimation*Unit,1);
28 Rb=zeros(dimation*Unit,1);
29 Fn=zeros(2,numberx);
30 %记录内点位置,上下浮动不超过 belta
31 Grid=zeros(1,numberx);
32 Deltax=zeros(1,Unit);
33 for i=2:numberx-1
34 Grid(1,i)=(i-1)*deltax+(2*rand(1)-1)*belta*deltax;
```



```

35 end
36 Grid(1,numberx)=endx;
37 %记录每个单元的区间长度
38 for i=2:numberx
39 Deltax(i-1)=Grid(1,i)-Grid(1,i-1);
40 end
41
42 %伪时间上的 local time stepping
43 deltatau=zeros(1,numberx-1); %伪时间变量
44 for i=1:numberx-1
45 deltatau(i)=CFLtau*(Grid(1,i+1)-Grid(1,i))/(abslambda+abs(a)); %伪时间变量
46 end
47
48 %计算 order
49 Acc=zeros(3,4); a1=[1/(2*32),1/(2*64),1/(2*128),1/(2*256)]; a2=[1/(2*32),1/(2*64)];
50 %记录每个物理时间步上的伪时间终止时刻
51 n=zeros(1,floor(endt/deltat));
52 %solve the exasolution
53 Uexasolution=zeros(2,numberx); Vnumsolution=zeros(2,numberx-1);
54 for k=1:numberx
55 Uexasolution(1,k)=1/sqrt(4*endt+1)*exp(-(Grid(k)-a*endt-x0)^2/(nu*(4*endt+1)));
56 Uexasolution(2,k)=1/sqrt(4*endt+1)*exp(-(Grid(k)-a*endt-x0)^2/(nu*(4*endt+1)))*(-2*(Grid(k)-a*endt-x0)/(nu*(4*endt+1)));
57 end
58
59 %
60 %构建 LHS
61 %Mtau/deltatau
62 for i=1:Unit
63 LHS1(dimension*(i-1)+1,dimension*(i-1)+1)=Deltax(i)/deltatau(i);
64 LHS1(dimension*(i-1)+2,dimension*(i-1)+2)=(Deltax(i)/12+1/Deltax(i))/deltatau(i);
65 end
66 %Rdomain
67 for i=1:Unit
68 LHS2(dimension*(i-1)+2,dimension*(i-1)+2)=(1/Tr+nu)/Deltax(i);
69 LHS2(dimension*(i-1)+2,dimension*(i-1)+1)=-a;
70 end

```

```

71
72 %Rboundary
73 for iface=2:numberx-1
74 ieL=iface-1;
75 ieR=iface;
76 CL=[B1,1/2;0,B1/Deltax(ieL)];
77 CR=[B1,-1/2;0,B1/Deltax(ieR)];
78 %diag
79 LHS3(dimension*(ieL-1)+1:dimension*ieL,dimension*(ieL-1)+1:dimension*ieL
    )=LHS3(dimension*(ieL-1)+1:dimension*ieL,dimension*(ieL-1)+1:
    dimension*ieL)+0.5*CL'*(A+A1)*CL;
80 LHS3(dimension*(ieR-1)+1:dimension*ieR,dimension*(ieR-1)+1:dimension*ieR
    )=LHS3(dimension*(ieR-1)+1:dimension*ieR,dimension*(ieR-1)+1:
    dimension*ieR)-0.5*CR'*(A-A1)*CR;
81 %upper
82 LHS3(dimension*(ieL-1)+1:dimension*ieL,dimension*(ieR-1)+1:dimension*ieR
    )=LHS3(dimension*(ieL-1)+1:dimension*ieL,dimension*(ieR-1)+1:
    dimension*ieR)+0.5*CL'*(A-A1)*CR;
83 %lower
84 LHS3(dimension*(ieR-1)+1:dimension*ieR,dimension*(ieL-1)+1:dimension*ieL
    )=LHS3(dimension*(ieR-1)+1:dimension*ieR,dimension*(ieL-1)+1:
    dimension*ieL)-0.5*CR'*(A+A1)*CL;
85 end
86
87 %边界：左
88 iface=1;
89 ieR=iface;
90 CR=[B1,-1/2;0,B1/Deltax(ieR)];
91 LHS3(dimension*(ieR-1)+1:dimension*ieR,dimension*(ieR-1)+1:dimension*ieR
    )=LHS3(dimension*(ieR-1)+1:dimension*ieR,dimension*(ieR-1)+1:
    dimension*ieR)-CR'*(0.5*(A+A1)*[0,0;0,1]*CR+0.5*(A-A1)*CR);
92 %边界：右
93 iface=numberx;
94 ieL=iface-1;
95 CL=[B1,1/2;0,B1/Deltax(ieL)];
96 LHS3(dimension*(ieL-1)+1:dimension*ieL,dimension*(ieL-1)+1:dimension*ieL
    )=LHS3(dimension*(ieL-1)+1:dimension*ieL,dimension*(ieL-1)+1:
    dimension*ieL)+CL'*(0.5*(A+A1)+0.5*(A-A1)*[0,0;0,1])*CL;
97
98 %组装 LHS

```

```

99 LHS=LHS1+LHS2+LHS3;
100
101 %Mt/deltat
102 for i=1:Unit
103 LHS(dimension*(i-1)+1,dimension*(i-1)+1)=LHS(dimension*(i-1)+1,dimension
    *(i-1)+1)+Deltax(i)/deltat;
104 LHS(dimension*(i-1)+2,dimension*(i-1)+2)=LHS(dimension*(i-1)+2,dimension
    *(i-1)+2)+(Deltax(i)/12)/deltat;
105 end
106
107
108 %initial condition set up
109 for k=1:numberx-1
110 %利用 Gauss 积分计算 Vcurrent
111 t=[-sqrt(15)/5,0,sqrt(15)/5];
112 W=[5/9,8/9,5/9];
113 xci=(Grid(k+1)+Grid(k))/2;
114 for ig=1:3
115 xig=Deltax(k)/2*t(ig)+xci;
116 const=W(ig)*0.5*Deltax(k);
117 Vcurrent(1,k)=Vcurrent(1,k)+const*exp(-(xig-x0)^2/nu);
118 Vcurrent(2,k)=Vcurrent(2,k)+const*exp(-(xig-x0)^2/nu)*(-2*(xig-x0)/nu);
119 end
120 Vcurrent(1,k)=Vcurrent(1,k)/Deltax(k);
121
122
123 end
124 %对 t=0 时刻赋值
125 Vn=Vcurrent;
126 i=1;
127 for itime=0:deltat:endt
128 Vm=Vn;
129 for itau=0:min(deltatau):endtau
130 %组装 RHS
131 %利用 Gauss 积分计算 Rdomain
132 t=[-sqrt(15)/5,0,sqrt(15)/5];
133 W=[5/9,8/9,5/9];
134 for ie=1:Unit
135 xci=(Grid(ie+1)+Grid(ie))/2;
136 for ig=1:3

```

```

137 xig=Deltax(ie)/2*t(ig)+xci;
138 B2g=(xig-xci)/Deltax(ie);
139 varphig=Vm(1,ie)+B2g*Vm(2,ie);
140 Vg=Vm(2,ie)/Deltax(ie);
141 S1g=0;
142 S2g=-Vg/Tr;
143 F1g=a*varphig-nu*Vg;
144 F2g=-varphig/Tr;
145 const=W(ig)*0.5*Deltax(ie);
146 Rd(2*(ie-1)+1)=Rd(2*(ie-1)+1)+S1g*const;
147 Rd(2*(ie-1)+2)=Rd(2*(ie-1)+2)+(S1g*B2g+S2g/Deltax(ie)+F1g/Deltax(ie))*
    const;
148
149
150 end
151 end
152
153
154
155 %Rboundary
156 for iface=2:numberx-1
157 ieL=iface-1;
158 ieR=iface;
159 B2L=1/2;
160 B2R=-1/2;
161 varphiL=Vm(1,ieL)+B2L*Vm(2,ieL);
162 varphiR=Vm(1,ieR)+B2R*Vm(2,ieR);
163 VL=Vm(2,ieL)/Deltax(ieL);
164 VR=Vm(2,ieR)/Deltax(ieR);
165
166 Fn(:,iface)=0.5*([a*varphiL-nu*VL;-varphiL/Tr]+[a*varphiR-nu*VR;-varphiR
    /Tr])-0.5*A1*([varphiR;VR]-[varphiL;VL]);
167 Rb(2*(ieL-1)+1)=Rb(2*(ieL-1)+1)-Fn(1,iface);
168 Rb(2*(ieL-1)+2)=Rb(2*(ieL-1)+2)-Fn(1,iface)*B2L-Fn(2,iface)/Deltax(ieL);
169 %Rb(dimension*(ieL-1)+3)=Rb(dimension*(ieL-1)+3)-Fn(1,iface)*B3L-
    Fn(2,iface)*B2L/Deltax(ieL);
170 Rb(2*(ieR-1)+1)=Rb(2*(ieR-1)+1)+Fn(1,iface);
171 Rb(2*(ieR-1)+2)=Rb(2*(ieR-1)+2)+Fn(1,iface)*B2R+Fn(2,iface)/Deltax(ieR);
172 %Rb(dimension*(ieR-1)+3)=Rb(dimension*(ieR-
    1)+3)+Fn(1,iface)*B3R+Fn(2,iface)*B2R/Deltax(ieR);

```

```

173 end
174 %边界：左
175 iface=1;
176 ieR=iface;
177 B2R=-1/2;
178 varphiR=Vm(1,ieR)+B2R*Vm(2,ieR);
179 VR=Vm(2,ieR)/Deltax(ieR);
180 Fn(:,iface)=0.5*([-nu*VR;0]+[a*varphiR-nu*VR;-varphiR/Tr])-0.5*A1*([
    varphiR;VR]-[0;VR]);
181 Rb(2*(ieR-1)+1)=Rb(2*(ieR-1)+1)+Fn(1,iface);
182 Rb(2*(ieR-1)+2)=Rb(2*(ieR-1)+2)+Fn(1,iface)*B2R+Fn(2,iface)/Deltax(ieR);
183 %Rb(dimension*(ieR-1)+3)=Rb(dimension*(ieR-
    1)+3)+Fn(1,iface)*B3R+Fn(2,iface)*B2R/Deltax(ieR);
184
185 %边界：右
186 iface=numberx;
187 ieL=iface-1;
188 B2L=1/2;
189 varphiL=Vm(1,ieL)+B2L*Vm(2,ieL);
190 VL=Vm(2,ieL)/Deltax(ieL);
191 Fn(:,iface)=0.5*([a*varphiL-nu*VL;-varphiL/Tr]+[-nu*VL;0])-0.5*A1*([0;VL
    ]-[varphiL;VL]);
192 Rb(2*(ieL-1)+1)=Rb(2*(ieL-1)+1)-Fn(1,iface);
193 Rb(2*(ieL-1)+2)=Rb(2*(ieL-1)+2)-Fn(1,iface)*B2L-Fn(2,iface)/Deltax(ieL);
194 %Rb(dimension*(ieL-1)+3)=Rb(dimension*(ieL-1)+3)-Fn(1,iface)*B3L-
    Fn(2,iface)*B2L/Deltax(ieL);
195
196 %R 组装
197 R=Rd+Rb;
198
199 for k=1:Unit
200 Mt=[Deltax(k),0;0,Deltax(k)/12];
201 R(2*k-1:2*k,1)=R(2*k-1:2*k,1)-Mt*(Vm(:,k)-Vn(:,k))/deltat;
202 end
203
204 X=LUSGS(LHS,R,Unit);
205 if max(abs(X))<tol&&itau>=min(deltatau)
206 break;
207 end
208 for k=1:Unit

```

```

209 Vm1(:,k)=Vm(:,k)+X(2*k-1:2*k,1);
210 end
211
212 Vm=Vm1;
213 Rd=zeros(dimension*Unit,1);
214 Rb=zeros(dimension*Unit,1);
215
216 end
217 n(i)=itau; i=i+1;
218 Vn=Vm1;
219 end
220
221 Vnumsolution=Vn;
222
223 %figure
224 k=1;
225 x=Grid(k):1*(Grid(k+1)-Grid(k)):Grid(k+1);
226 xci=(Grid(k+1)+Grid(k))/2;
227 p=@(x) Vnumsolution(1,k)+Vnumsolution(2,k)*(x-xci)/Deltax(k);
228 y=p(x);
229 plot(x,y,'-r^','linewidth',1.5);hold on
230 H1=plot(x,y,'-r^','linewidth',1.5);hold on
231
232 for k=2:numberx-1
233 x=Grid(k):1*(Grid(k+1)-Grid(k)):Grid(k+1);
234 xci=(Grid(k+1)+Grid(k))/2;
235 p=@(x) Vnumsolution(1,k)+Vnumsolution(2,k)*(x-xci)/Deltax(k);
236 y=p(x);
237 plot(x,y,'-r^','linewidth',1.5);
238 end
239
240 %plot the exact
241 plot(Grid,Uexasolution(1,:),'-b*','linewidth',1.5)
242 H2=plot(Grid,Uexasolution(1,:),'-b*','linewidth',1.5);hold on
243 lgd=legend([H1,H2],'DG(POP1)+DG(P0)','解析解');
244 lgd.FontSize=12;
245 xlabel('位置x','fontsize',14)
246 ylabel('数值U','fontsize',14)
247 title('DG(POP1)+DG(P0) BDF1-LUSGS数值解与解析解(U)','fontsize',16)
248 hold off

```

```

249
250 %Ux
251 figure
252 k=1;
253 x=Grid(k):1*(Grid(k+1)-Grid(k)):Grid(k+1);
254 %p=@(x)Unumsolution(2,k)/Deltax(k);
255 y=[Vnumsolution(2,k)/Deltax(k),Vnumsolution(2,k)/Deltax(k)];
256 plot(x,y,'-r^','linewidth',1.5);hold on
257 H1=plot(x,y,'-r^','linewidth',1.5);hold on
258 for k=2:numberx-1
259 x=Grid(k):1*(Grid(k+1)-Grid(k)):Grid(k+1);
260 %p=@(x)Unumsolution(2,k)/Deltax(k);
261 y=[Vnumsolution(2,k)/Deltax(k),Vnumsolution(2,k)/Deltax(k)];
262 plot(x,y,'-r^','linewidth',1.5);
263 end
264
265 %exact
266 plot(Grid,Uexasolution(2,:),'-b*','linewidth',1.5)
267 H2=plot(Grid,Uexasolution(2,:),'-b*','linewidth',1.5);hold on
268 lgd=legend([H1,H2],'DG(POP1)+DG(P0)','解析解');
269 lgd.FontSize=12;
270 xlabel('位置x','fontsize',14)
271 ylabel('数值U','fontsize',14)
272 title('DG(POP1)+DG(P0) BDF1-LUSGS数值解与解析解(Ux)','fontsize',16)
273 hold off
274
275 %计算 L2 误差
276 [Acc(1,1),Acc(2,1)]=Accuracy(32);
277 [Acc(1,2),Acc(2,2)]=Accuracy(64);
278 [Acc(1,3),Acc(2,3)]=Accuracy(128);
279 [Acc(1,4),Acc(2,4)]=Accuracy(256);
280
281 %计算 order
282 accuracyU=zeros(1,3);
283 accuracyUx=zeros(1,3);
284 for k=1:3
285 accuracyU(k)=(log10(Acc(1,k+1))-log10(Acc(1,k)))/(log10(a1(1,k+1))-
    log10(a1(1,k)));
286 end
287 for k=1:3

```

```

288 accuracyUx(k)=(log10(Acc(2,k+1))-log10(Acc(2,k)))/(log10(a1(1,k+1))-
      log10(a1(1,k)));
289 end
290
291 %U 精度
292 figure
293 hold on
294 plot(log10(a1),log10(Acc(1,:)),'-c*','linewidth',1.5)
295 H1=plot(log10(a1),log10(Acc(1,:)),'-c*','linewidth',1.5);
296
297 H2=plot(log10(a2),1*log10(a2),'--','linewidth',1.5);
298 plot(log10(a2),2*log10(a2),'--','linewidth',1.5)
299 H3=plot(log10(a2),2*log10(a2),'--','linewidth',1.5);
300 lgd=legend([H1,H2,H3],'DG(POP1)+DG(P0)','Slope=1','Slope=2');
301 lgd.FontSize=12;
302 xlabel('Log(1/DOF)','fontsize',14)
303 ylabel('Log(episilo)','fontsize',14)
304 title('DG(POP1)+DG(P0)精度分析(U)','fontsize',16)
305
306 %Ux 精度
307 figure
308 hold on
309 plot(log10(a1),log10(Acc(2,:)),'-c*','linewidth',1.5)
310 H1=plot(log10(a1),log10(Acc(2,:)),'-c*','linewidth',1.5);
311
312 H2=plot(log10(a2),1*log10(a2),'--','linewidth',1.5);
313 plot(log10(a2),2*log10(a2),'--','linewidth',1.5)
314 H3=plot(log10(a2),2*log10(a2),'--','linewidth',1.5);
315 lgd=legend([H1,H2,H3],'DG(POP1)+DG(P0)','Slope=1','Slope=2');
316 lgd.FontSize=12;
317 xlabel('Log(1/DOF)','fontsize',14)
318 ylabel('Log(episilo)','fontsize',14)
319 title('DG(POP1)+DG(P0)精度分析(Ux)','fontsize',16)

```